# ノート

# 水素化物生成-高出力窒素マイクロ波誘導プラズマ発光分光 分析による鉄鋼中の鉛の定量

松本 明弘®1, 塩崎 唯史2, 中原 武利2

Determination of lead in steel by high power nitrogen microwave induced plasma atomic emission spectrometry coupled with hydride generation technique

Akihiro Matsumoto<sup>1</sup>, Tadashi Shiozaki<sup>2</sup> and Taketoshi Nakahara<sup>2</sup>

<sup>1</sup> Wakayama Industrial Technology Center, 60, Ogura, Wakayama-shi, Wakayama 649 - 6261 <sup>2</sup> Graduate School of Engineering, Osaka Prefecture University, 1 - 1, Gakuen-cho, Sakai-shi, Osaka 599 - 8531 (Received 9 April 2004, Accepted 27 May 2004)

An annular-shaped high power nitrogen microwave induced plasma atomic emission spectrometry with a hydride generation method is described for the determination of lead in steel. Under the optimized experimental conditions, the best attainable detection limit at the Pb I 368.347 nm lines was 35.2 ng ml<sup>-1</sup> for lead. The linear dynamic range for lead was 100 to 30000 ng ml<sup>-1</sup> in concentrations. The presence of several diverse elements was found to cause a more or less depressing interference with the proposed technique. Of the several oxidizing agents examined, hydrogen peroxide for lead was found to be the most preferable to oxidize lead prior to hydride generation. When lead in two certified reference materials of steel was determined, a large amount of Fe(III) in the solution caused a severe depressing interference, while the presence of Fe(II) showed little or no significant interference. Of the several interference-releasing agents examined, t-ascorbic acid was found to be the most preferable to prereduce Fe(III) to Fe(III). The concentrations of lead in steel were determined by the use of the standard additions method. The results obtained by this method were in good agreement with their certified values.

*Keywords*: high power nitrogen microwave induced plasma; atomic emission spectrometry; hydride generation method; lead; steel.

# 1 緒 言

近年、質量分析のイオン源のために新しいタイプの高出力(1kW)のOkamotoキャビティー<sup>1)2)</sup>が開発された。このキャビティーを用いて得られるマイクロ波誘導プラズマ(MIP)の大きな特徴には、誘導結合プラズマ(ICP)と同様にドーナツ型のプラズマを形成することができるため

溶液試料エアロゾルの直接かつ連続的な導入が可能になったこと、プラズマイオン源質量分析においてアルゴン ICP と比較すると、窒素をプラズマガスに用いることによってアルゴンに起因する干渉が起こらなくなることなどが挙げられる。また、窒素をプラズマガスとして用いることにより、ランニングコストを低く抑制することができる。最近、この高出力( $1\,\mathrm{kW}$ )窒素 MIP(以下、高出力  $N_2\mathrm{MIP}$  と略記)の励起温度や電子密度の基礎的な研究が行われている $3^{314}$ . 一方、この高出力  $N_2\mathrm{MIP}$  を、発光分光分析(AES)

の励起光源として用いられた例は少なく30~90, 更に, この

に、従来の低出力(200 W 以下) MIP では困難であった

<sup>「</sup>和歌山県工業技術センター: 649-6261 和歌山県和歌山市小倉60

<sup>&</sup>lt;sup>2</sup> 大阪府立大学大学院工学研究科: 599-8531 大阪府堺市学園町 1-1

Table 1 Optimized operating conditions for the determination of lead by high power N<sub>2</sub>-MIP-AES with continuous-flow hydride generation

Pb I 368.347
1000
12
0.3
3
0 (centered)
0.3
0.3
1.0
8.4
5.7

高出力  $N_2$ -MIP-AES が実試料分析に応用された研究例はあまり見られない $^{10)-20)}$ . 今回,分析対象元素として鉛を選び,MIP 中に水素化物生成反応によって発生した水素化鉛(PbH4: プルンバン)を連続的に導入して高出力  $N_2$ -MIP-AES による鉛の定量を行った.更に,本研究で開発した水素化物生成-高出力  $N_2$ -MIP-AES による鉛の定量法を鉄鋼分析に応用した.

## 2 実 験

#### 2.1 試薬

鉛(II) の標準溶液は,金属鉛(和光純薬製純度 99.999%) を 6.5 M 硝酸 30 ml に加熱溶解後,純水で希釈して調製した.

鉛の酸化剤として過マンガン酸カリウム,二クロム酸カリウムと過酸化水素を用いた。また、鉄鋼の主成分である鉄による干渉を抑制するのに1.アスコルビン酸,1.システイン及びチオ尿素を用いて検討した。

水素化物生成反応の還元剤として用いたテトラヒドロホウ酸ナトリウム( $NaBH_4$ )溶液、その他の試薬、標準試料及び純水は、既報 $^{16}$ で示した。

# 2・2 装置及び実験操作

本研究で使用した装置全体の概略と主要な装置の型式及びメーカー名などは、既報<sup>16)</sup>で示した。ただし、今回は、既報<sup>16)</sup>のように予備還元及び干渉抑制剤のオンライン導入を行わなかった。

水素化物生成反応法も既報 $^{(6)}$ で示したとおり、試料導入して発光スペクトルを測定した。鉛に対する水素化物生成-高出力  $N_2$ -MIP-AES の最適化された条件を Table 1 に示し、幾つかの測定条件の最適化については後述する。

Table 2 Emission characteristics of major lines of lead ( $20 \,\mu g \,ml^{-1}$ ) by high power N<sub>2</sub>-MIP-AES with continuous-flow hydride generation

Wavel	ength/nm	$I_{\mathrm{n}}^{\mathrm{(a)}}$	$I_{ m n}/I^{ m b)}$	BEC <sup>b)</sup>
Pb I	216.999	0.08	0.17	117.6
Pb I	261.418	0.27	0.88	22.7
Pb I	280.200	0.13	0.68	19.5
Pb I	283.307	0.56	1.57	12.7
Pb I	368.347	1.00	3.74	5.4

a) Relative to  $I_n$  of Pb I 368.347 nm; b) Background equivalent concentration (µg Pb ml  $^{-1}$ )

#### 2・3 試料の溶解

鉄鋼試料には、鉄鋼標準物質 SRM 363 (NIST, USA) 及び CRM 458/1 (BCS, United Kingdom) を用いた. 試料 2.0 g をビーカーに精ひょうし、10 ml の王水を加え、ホットプレート上で加熱して完全に溶解した. 放冷後、50 ml のメスフラスコに移し、純水で定容にした. 次に、この溶液から 4 個の 50 ml のメスフラスコにそれぞれ 10 ml 分取し、既知の鉛の標準溶液を加えた. 更に、過酸化水素及び 1.7 スコルビン酸をそれぞれ 1.5 及び 0.1% となるように添加し、塩酸で酸性度を 1 M に調整して純水を加えて定容にし、鉛の定量のための供試溶液とした.

## 3 結果と考察

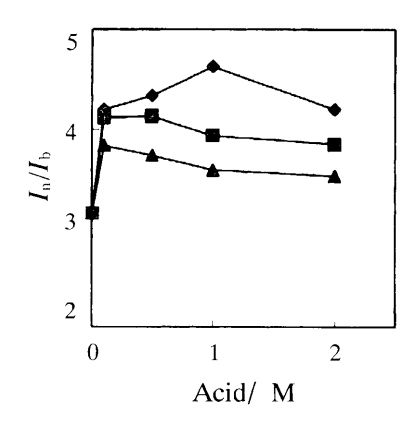
## 3・1 測定条件の最適化

**3・1・1 測定波長** 最適測定条件は、既報<sup>16)</sup>で示したとおり、鉛の正味の発光強度 ( $I_n$ ) とバックグラウンド強度 ( $I_b$ ) の比、 $I_n/I_b$  値が最大になる条件とした.

鉛に対して、水素化物生成法を適用した場合の  $N_x$ -MIP 発光スペクトルの波長走査を行った。その結果、 $210 \sim 370 \, \mathrm{nm}$  の波長範囲で、鉛の  $5 \, \mathrm{本}$ の主要な発光スペクトル線が観測された。これらの発光スペクトル線について発光特性を調べ、その結果を、Table  $2 \, \mathrm{cr}$ 、この結果から、鉛の分析線として、最大の  $I_\mathrm{n}/I_\mathrm{b}$  が得られた Pb I  $368.347 \, \mathrm{nm}$  線を選び、以下の実験に用いた。

3・1・2 還元剤の濃度 水素化物生成反応の還元剤として用いたテトラヒドロホウ酸ナトリウム溶液の濃度は鉛の水素化物生成効率に大きな影響を与えることがよく知られている $^{21)^{-26}}$ . 本研究において、0.5% 水酸化ナトリウムのアルカリ性下でテトラヒドロホウ酸ナトリウム溶液の濃度を $0.2^{-2.0}$ % の範囲で検討し、最適化を行った結果、0.3% の濃度で最大の $I_{\rm In}/I_{\rm b}$  は減少した。この結果より、Table 1に示すとおり、テトラヒドロホウ酸ナトリウム溶液の最適濃度を0.3% とし、以下の実験に用いた。

3・1・3 酸の濃度 還元剤の濃度とともに、水素化物



**Fig. 1** Effect of hydrochloric  $(\spadesuit)$ , nitric  $(\blacksquare)$  and tartaric  $(\blacktriangle)$  acids concentration on  $I_n/I_b$  for lead with continuous-flow hydride generation

生成に用いる酸の濃度も鉛の水素化物生成効率に大きな影響を与える $^{16)\sim20}$ .酸には、塩酸、硝酸及び酒石酸の3種類を用いて、それぞれ $0\sim2.0$  M の濃度で変化させたときの鉛の発光強度による影響を検討した。その結果を Fig. 1に示す。この結果より、すべての酸に対して 0.1 M 以上でほぼ一定となった。その中で 1 M で最大の  $I_n/I_n$  を示した塩酸を最適な酸として以下の実験で用いた。

#### 3・2 測定感度

試料導入法として水素化物生成法を用いて Table 1 に示 すような最適条件下で得られた検量線は, 水素化物生成法 の場合, 100~30000 ng ml<sup>-1</sup>の濃度範囲で良好な直線性 を示した. その相関係数は 0.999 であった. 得られた検出 限界(バックグラウンド強度を 10 回測定したときの標準 偏差の3倍の発光強度を与える分析の濃度で、いわゆる  $3\sigma$ 検出限界) は、 $35.2 \text{ ng ml}^{-1}$ であった。この値は、同 じ方法で測定した他の水素化物生成元素の検出限界 | ヒ 素( $2.99 \text{ ng ml}^{-1}$ )<sup>11)</sup>, アンチモン( $1.87 \text{ ng ml}^{-1}$ )<sup>12)</sup>, セレ ン  $(0.86 \text{ ng ml}^{-1})^{11}$ , テルル  $(15 \text{ ng ml}^{-1})^{13}$ , ビスマス (102 ng ml<sup>-1</sup>)<sup>17)</sup>及びスズ (52.3 ng ml<sup>-1</sup>)<sup>19)</sup> と比較して, ビスマスとスズよりは高感度な値であったが、ヒ素、アン チモン,セレン及びテルルよりは劣る値であった。また, 水素化物生成-ICP-AES<sup>27)</sup>,水素化物生成-電気加熱原子 吸光法280や水素化物生成-原子蛍光分析法290による検出限 界は、それぞれ 1、1.5 及び 0.05 ng ml<sup>-1</sup> と報告されてい る.

#### 3・3 酸化剤の添加

鉛の水素化物が生成するとき、酸化剤を添加することによりプルンバンの発生効率は大幅に向上することが知られている $^{27/28/30}$ . そこで本研究では、鉛の測定の際に過マンガン酸カリウム $^{28/3}$ 、ニクロム酸カリウム $^{28/30}$ や過酸化水

Table 3 Effect of diverse elements or ions on the determination of lead by high power N<sub>2</sub>-MIP-AES with hydride generation

Element or ion <sup>a)</sup>	Added as	Relative intensity <sup>b)</sup>
Al	$Al_2(SO_4)_3$	92
As	$As_2O_3$	88
Bi	Bi(NO <sub>3</sub> ) <sub>3</sub> :5H <sub>2</sub> O	90
Cd	$Cd(NO_3)_2 \cdot 4H_2O$	89
Co	Metal in HCl	86
Cr (VI)	$K_2Cr_2O_7$	92
Cu	CuSO <sub>4</sub> ·5H <sub>2</sub> O	83
Fe (III)	FeCl <sub>3</sub> ·6H <sub>2</sub> O	87
Hg	$Hg(NO_3)_2 \cdot H_2O$	89
Mn	$MnCl_2 \cdot 4H_2O$	94
Mo	(NH <sub>4</sub> ) <sub>6</sub> Mo <sub>7</sub> O <sub>24</sub> ·4H <sub>2</sub> O	87
Ni	NiSO <sub>4</sub> ·6H <sub>2</sub> O	86
Sb	C <sub>4</sub> H <sub>4</sub> O <sub>6</sub> KSbO·1/2H <sub>2</sub> O	90
Se	$Na_{9}SeO_{3}$	92
Sn	Metal in HCl	91
Te	$Na_2TeO_3$	88
V	$NH_4VO_3$	84
W	$Na_2WO_4 \cdot 2H_2O$	87
Zn	Metal in HNO <sub>3</sub>	89
$\mathrm{BrO_3}^-$	$\mathrm{KBrO}_3$	91
$ClO_3$	$NaClO_3$	93
$NO_2$	$NaNO_2$	89

a) Diverse element or ion added at level of  $1000 \,\mu g \,ml^{-1}$ ; b) Relative to 100 for the emission intensity of Pb  $(1 \,\mu g \,ml^{-1})$ 

素 $^{27(28)30)}$ の酸化剤添加の効果を行った.その結果,最大の $I_{\rm n}/I_{\rm h}$ を示したのは 1% 過酸化水素を添加した場合であったが,鉄鋼試料の分析では,試料溶液を 1.5% の過酸化水素となるように添加することにした.これについては, $3\cdot 5$  で詳しく述べる.

## 3・4 共存種の影響

水素化物生成法では, 主として水素化物生成反応の際の 共存元素(化学種)による化学的な干渉が起こる28/~82/. 鉛の溶液に対して 1000 倍量の化学種が存在したときの鉛 の発光強度を測定し、干渉の有無を検討した、干渉を示し た元素及びその干渉の度合いを, 鉛の溶液のみの発光強度 に対する相対強度で求めた結果を Table 3 に示す. ただ し、相対強度が100±5以内の値を示した元素 | B, Ba, Be, Ce, Cr(III), Cs, Fe(II), Ga, Ge, In, K, La, Li, Mg, Na, P, Sr, Tl, Y, Zr,  $Br^-$ ,  $Cl^-$ ,  $CN^-$ ,  $C_2O_4^{2-}$ ,  $F^-$ ,  $IO_3^-$ ,  $NH_4^+$ ,  $NO_3^-$ ,  $SCN^-$ ,  $SO_3^{2-}$ ,  $SO_4^{2-}$  | III, 測定誤差を考慮して干渉がないものとした. この結果か ら, コバルト, 銅, 鉄(III), ニッケルなどの元素及び臭 素酸イオンなどの陰イオンの共存による比較的大きな減感 干渉が観察された.また、ヒ素、ビスマス、アンチモン、 セレン, スズ及びテルルは鉛と同様に, 水素化物生成する 元素についても減感干渉が観察された.

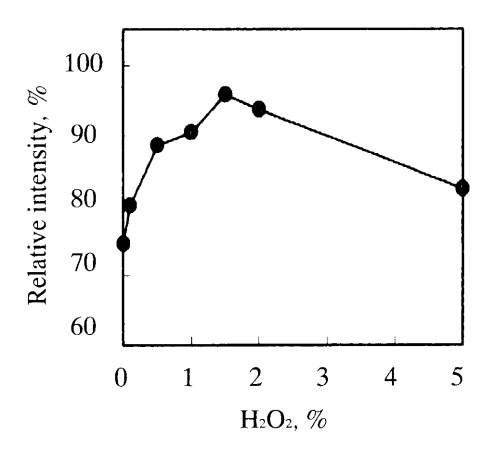


Fig. 2 Effect of  $H_2O_2$  concentration on emission intensity of lead (1  $\mu g \text{ ml}^{-1}$ ) in the presence of 5000  $\mu g \text{ Fe}(\text{III}) \text{ ml}^{-1}$  and 0.1% L-ascorbic acid

## 3.5 鉄鋼分析への応用

鉄鋼中の微量鉛を定量する場合には, 先述のように本法 において、主成分である鉄による干渉を考慮しなければな らない. 溶液中の鉄(II) の存在下では鉛の測定には全く 干渉を示さなかったが、鉄(III) の共存の場合には鉛の定 量に負の干渉を示した. 鉄鋼試料を王水で溶解した溶液中 では鉄はほとんど3価状態であると思われるので,水素 化物生成反応の直前に鉄(III) を鉄(II) に還元することに よる干渉の除去の可能性を検討した. 鉛のみの発光強度を 100 として, 鉄(III) を 5000 μg ml<sup>-1</sup> 含む鉛の溶液に,こ の鉄の予備還元剤として、L-アスコルビン酸、L-システイ ンとチオ尿素を用いたが、鉛の発光強度が100%の回復 を示さなかった.しかし、最も有効に作用した L-アスコル ビン酸11)15)33)34)を干渉抑制剤として用い、その最適濃度を 0.1% とした. ここで, 鉄(III) の還元剤であるアスコル ビン酸は、プルンバンの発生効率にも影響を及ぼすと考え られる. それで 0.1% アスコルビン酸を添加して、酸化剤 の過酸化水素の濃度を 0~5.0% の濃度で変化させて加え て, 再度最適化を行った. 鉛の発光強度を測定し, その相 対値の変化を Fig. 2 に示す. この結果より, 過酸化水素 を 1.5% に調整することにより、約 95% まで発光強度が 回復した.これらの結果より,実際の鉄鋼分析では標準添 加法を用いた. 試料溶液の調製操作は、2・3 に示したとお りである. 本法を用いて分析した定量結果を Table 4 に示 す.この結果より、得られた分析値は保証値とほぼ一致し t.

## 4 結 言

試料溶液の導入に水素化物生成法を用いた鉛の定量に関する高出力 N<sub>2</sub>-MIP-AES の基礎的な検討を行った結果,溶液噴霧法と比較して大幅な感度の向上が観察された。ま

Table 4 Determination of lead in steels by high power N<sub>2</sub>-MIP-AES with hydride generation

3)	Lead,	$/\mu \mathrm{g} \; \mathrm{g}^{-1}$
Sample <sup>a)</sup>	Certified value	Present work <sup>b)</sup>
NIST 363	18.6	$18.8 \pm 1.4$
BCS 458/1	78	$76.2 \pm 4.0$

a) NIST: Standard Reference Material issued by National Institute of Standards and Technology, BCS: Certified Reference Material issued by British Chemical Standard; b) The mean ± standard deviation, based on 8 replicate determinations

た、本法を鉄鋼中の鉛の定量に適用した結果、鉄鋼標準試料中に含まれる鉛の定量値は、それぞれの保証値とほぼ一致する分析値が得られ、本法の有用性を実証することができた。なお、 $3\cdot2$ に示したように、検出限界値がヒ素、アンチモン及びセレンと比べて大きくなったが、本法は鉄鋼試料の迅速な分析法として十分に有効である。更に、実試料分析において、鉛の水素化物が不安定であることが知られている $^{22}$  $^{-24}$  $^{1}$ 0で、あまり水素化物生成 - ICP-AES 及び原子吸光分析に適用されていないが、マトリックス成分から測定元素を分離できる点で特別な分離操作を必要としない迅速かつ高感度法として有用である。

最後に、本研究は日本学術振興会科学研究費補助金基盤研究 C (No. 13650872) 及び日本鉄鋼協会の「スクラップ利用拡大に伴う鋼中の微量不純物分析法の開発」研究会によるものであり、ここに記して謝意を表明します。

## 文 献

- 1) Y. Okamoto: Anal. Sci., 7, 283 (1991).
- 2) Y. Okamoto: J. Anal. At. Spectrom., 9, 745 (1994).
- 3) M. Ohata, N. Furuta: J. Anal. At. Spectrom., 12, 341 (1997).
- 4) K. Ogura, H. Yamada, Y. Sato, Y. Okamoto: *Appl. Spectrosc.*, **51**, 1496 (1997).
- K. Oishi, T. Okumoto, T. Iino, M. Koga, T. Shirasaki,
   N. Furuta: Spectrochim. Acta, Part B, 49, 901 (1994).
- M. Ohata, N. Furuta: J. Anal. At. Spectrom., 13, 447 (1998).
- 7) E. Bulska, P. Tschöpel: *Anal. Chim. Acta*, **271**, 171 (1993).
- 8) M. Ohata, H. Ota, M. Fushimi, N. Furuta: *Spectrochim. Acta, Part B*, **55**, 1551 (2000).
- 9) Z. Zhang, K. Wagatsuma: *Spectrochim. Acta, Part B*, **57**, 1247 (2002).
- T. Nakahara, Y. Li: J. Anal. At. Spectrom., 13, 401 (1998).
- 11) 中原武利, 李 一木, 竹内啓貴, 二村 実: 鉄と 鋼, **85**, 97 (1999).
- 12) 松本明弘, 大枝淳能, 中原武利: 鉄と鋼, **87**, 449 (2001).
- 13) A. Matsumoto, A. Oheda, T. Nakahara: *Anal. Sci.*, **17** (Supplement), i963 (2001).

- 14) 松本明弘, 竹内啓貴, 中原武利: 鉄と鋼, **88**, 270 (2002).
- 15) 松本明弘,大枝淳能,中原武利:鉄と鋼,89,587 (2003).
- 16) 松本明弘, 大枝淳能, 中原武利: 分析化学 (Bunseki Kagaku), **52**, 597 (2003).
- 17) 松本明弘,塩崎唯史,中原武利:鉄と鋼,**89**,953 (2003).
- 18) A. Matsumoto, T. Shiozaki, T. Nakahara: *Anal. Bioanal. Chem.*, **379**, 90 (2004).
- 19) A. Matsumoto, T. Nakahara: Can. J. Anal. Sci. Spectrosc., in press.
- H. Matusiewicz, M. Kopras: J. Anal. At. Spectrom., 18, 1415 (2003).
- 21) P. Fodor, R. M. Barnes: *Spectrochim. Acta, Part B*, **38**, 229 (1983).
- 22) T. Nakahara: Prog. Anal. At. Spectrosc., 6, 163 (1983).
- 23) T. Nakahara: "Sample Introduction in Atomic Spectrometry", Ediled by J. Sneddon, p. 255 (1990), (Elsevier, Amsterdam).
- 24) T. Nakahara: Spectrochim. Acta Rev., 14, 95 (1991).
- 25) H. Tao, T. Nakahara: "Advances in Atomic Spectroscopy",

- Vol. 7, Ediled by J. Sneddon, p. 53 (2002), (Elsevier, Amsterdam).
- 26) J. Dedina, D. L. Tsalev: "Hydride Generation Atomic Absorption Spectrometry", p. 19 (1995), (John Wiley, Chichester).
- M. Ikeda, J. Nishibe, S. Hamada, R. Tujino: Anal. Chim. Acta, 125, 109 (1981).
- 28) 神 和夫,多賀光彦,吉田仁志,蟇目清一郎:分析 化学 (Bunseki Kagaku), 27, 759 (1978).
- 29) J. Liang, Q. Wang, B. Huang: Anal. Sci., 20, 85 (2004).
- 30) 神 和夫, 多賀光彦: 分析化学 (Bunseki Kagaku), **29**, 522 (1980).
- 31) H. D. Fleming, R. G. Ide: *Anal. Chim. Acta*, **83**, 109 (1976).
- 32) N. Maleki, A. Safavi, Z. Ramezani: *J. Anal. At. Spectrom.*, **14**, 1227 (1999).
- P.-k. Hon, O.-w. Lau, S.-k. Tsui: J. Anal. At. Spectrom., 1, 125 (1986).
- 34) T. Ashino, K. Takada, K. Hirokawa: *Anal. Chim. Acta*, **297**, 443 (1994).